

Heavy mineral analysis

What are heavy minerals?

- minerals with a specific density $\rho > 2.85 \text{ g/cm}^3$
- accessory minerals in clastic sediments with a proportion of usually $<1\%$
- are smaller than the average grain size of the sediment
- amphibole, pyroxene, zircon, tourmaline, rutile, apatite, ...

How to analyse them?

- fine to medium-grained sandstones, as fresh as possible (!)
- crushing and desaggregation (e.g., 10% acetic acid, ultrasonic, H_2O_2 , etc.)
- sieve fraction 63 – 125 μm (may be coarser, if necessary)
- separation of HM by specific density fluids such as Na-metatungstate
- counting of at least 200 grains under the microscope; embedded in special resins or waxes with well defined optical properties (e.g., Meltmount 1.66)
- for details see Mange & Maurer (1991, 1992)

HvE - Sedimentpetrologie

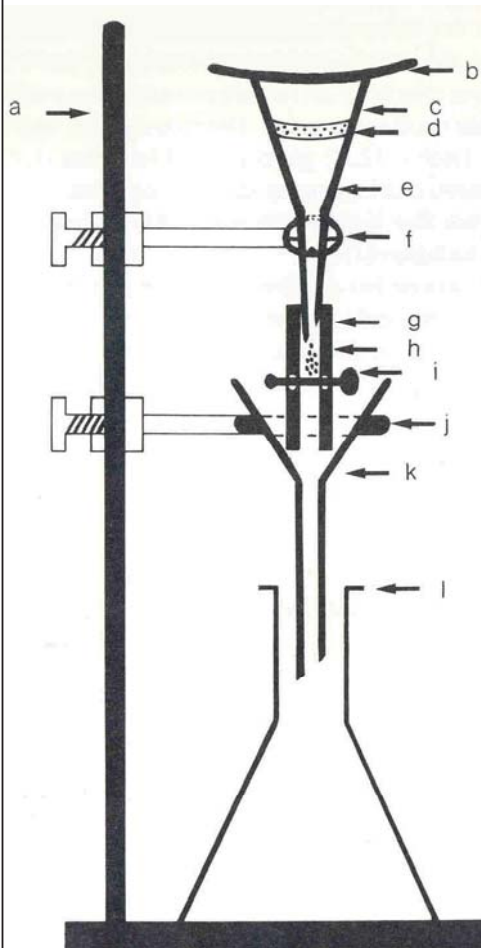
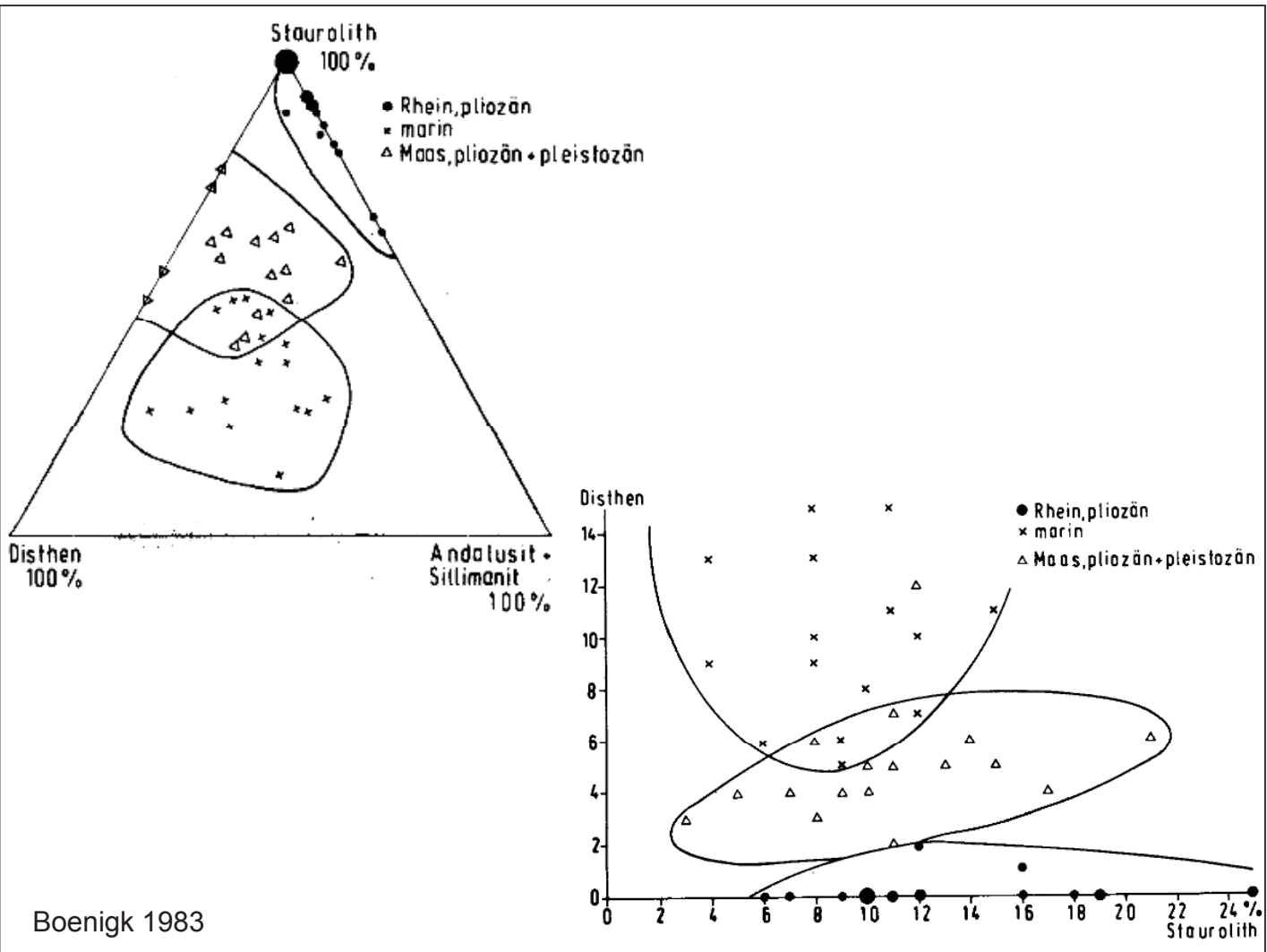


Abb. 1 Geräteaufbau zur gravitativen Trennung von Schwer- und Leichtmineralfraktion: (a) Stativ; (b) Uhrgläschen; (c) Scheidetrichter; (d) Lage der Leichtfraktion; (e) Schwereflüssigkeit; (f) Stativring; (g) Gummischlauch; (h) Lage des Schwererückstandes; (i) Schlauchklemme; (j) Stativring; (k) Trichter mit Filter; (l) Sammelflasche.

Tabelle 3 Gegenüberstellung von Schwerkrafttrennung und Zentrifugentrennung

Geräteaufwand	Schwerkrafttrennung	Zentrifugentrennung
Kosten	gering, Scheidetrichter	hoch, Zentrifuge, flüssige Luft
Arbeitsgeschwindigkeit	mittel: etwas mehr Bromoform als beim Zentrifugieren	mittel: etwas weniger Bromoform, dafür aber Geräteneinsatz
Probenmenge	50–100 Trennungen/Tag	50–100 Trennungen/Tag
Qualität der Abtrennung	2–20 g/Analyse	1–3 g/Analyse
bei 400–200 μm	$\pm 100\%$	90–100%
Menge	sehr gut	mäßig
Reproduzierbarkeit		
bei 200–100 μm	96–100%	98–100%
Menge	sehr gut	gut
Reproduzierbarkeit		
bei 100–63 μm	75–95%	$\pm 100\%$
Menge	gut	sehr gut
Reproduzierbarkeit		
bei < 63 μm	60–80%	$\pm 100\%$
Menge	mäßig	sehr gut
Reproduzierbarkeit		

HvE - Sedimentpetrologie



Grain-size dependence of HM assemblages

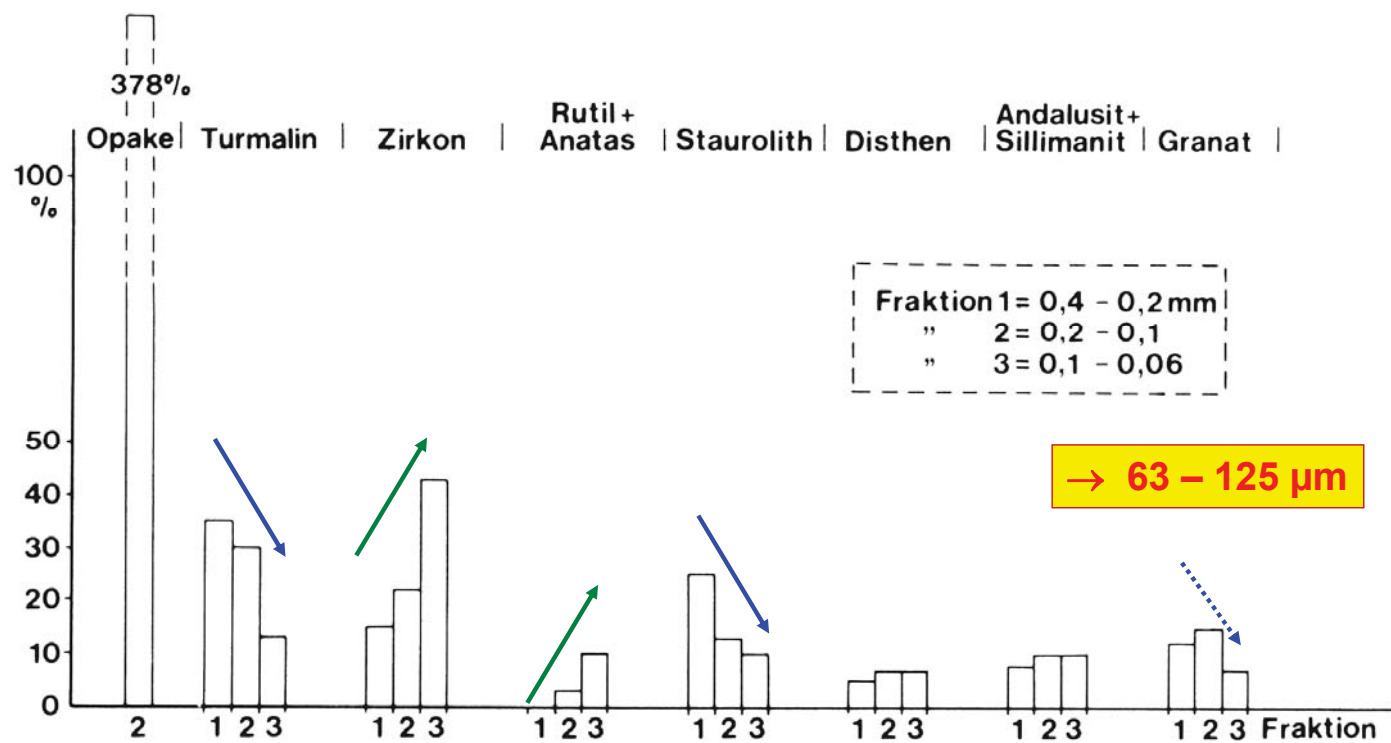
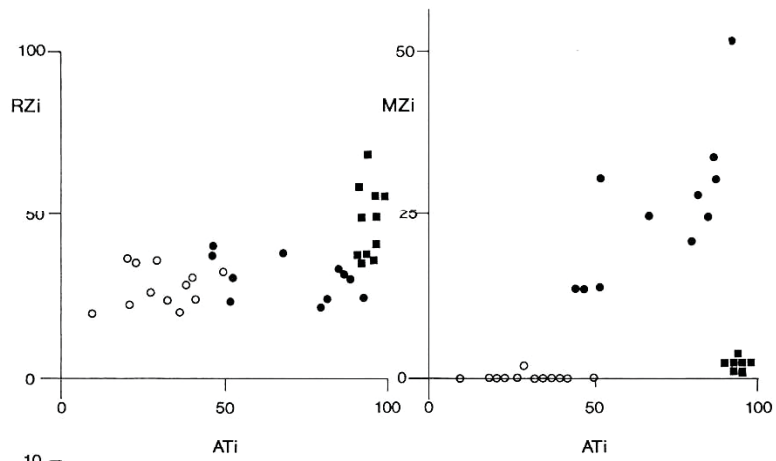


Abb. 17 Säulendiagramm einer fraktionierten Schwermineralanalyse

Boenigk 1983



Hydraulic behavior

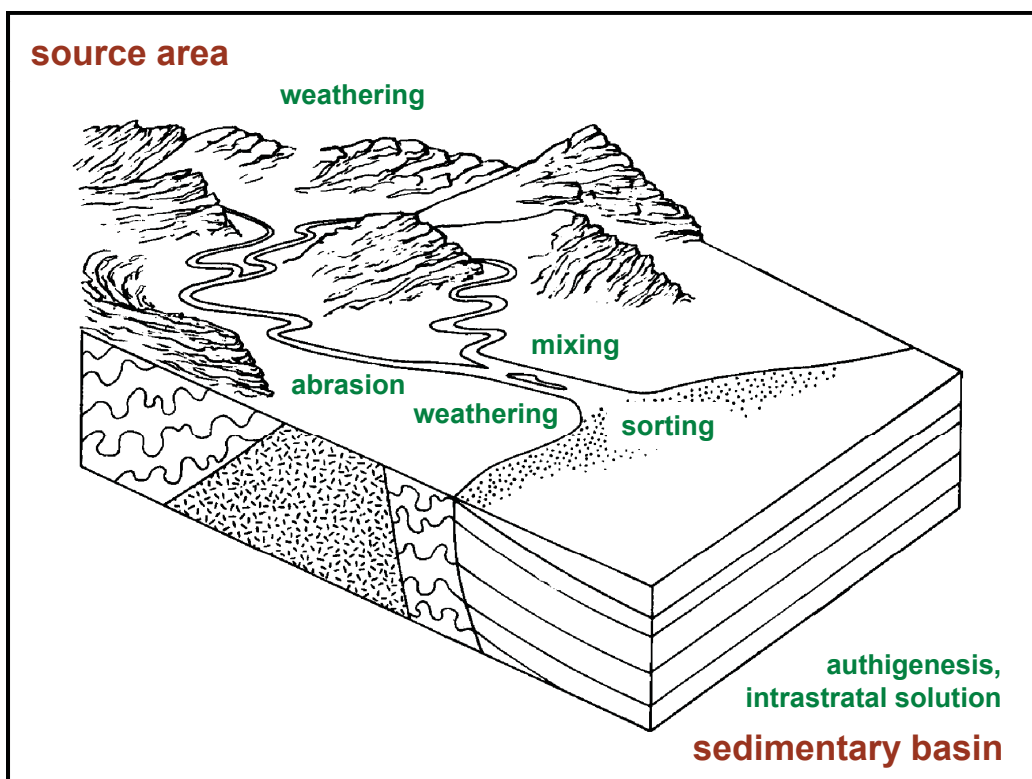
Mineral ratio	Density ratio	Density differential (%)
Zircon/chrome spinel	0.98	2
Tourmaline/apatite	0.97	3
Anatase/rutile	0.92	8
Rutile/zircon	0.91	9
Zircon/monazite	0.90	10
Garnet/zircon	0.88	12
Tourmaline/monazite	0.61	39
Tourmaline/zircon	0.67	33

• Wytch Farm B22
○ Well 110/2-6
■ Well 22/24A-1

Morton & Hallsworth 1994

HvE - Sedimentpetrologie

Modification of HM assemblages



sehr instabil
 Olivin
instabil
 Hornblende
 Aktinolith
 Augit
 Diopsid
 Hypersthen
 Andalusit
mäßig stabil
 Epidot
 Disthen
 Granat (Fe-reich)
 Sillimanit
 Titanit
 Zoisit
stabil
 Apatit
 Granat (Fe-arm)
 Staurolith
 Monazit
extrem stabil
 Rutil
 Zirkon
 Turmalin
 Anatas

Morton & Hallsworth 1994

HvE - Sedimentpetrologie

Mange & Maurer 1991

Occurrence and stability of HM (weathering profiles)

Gneiss, Dolerite, Amphibolite	Crystalline schist	Granite	Tertiary kaolinitic sand	Bavarian molasse	Calcareous sandstones	Aeolian coversands
Northern USA Goldich (1938)	Northern USA Dryden and Dryden (1946)	Germany Piller (1951)	Germany Weyl and Werner (1951)	Germany Grimm (1973)	Germany Lemcke et al. (1953)	England Bateman and Catt (1985)
Zircon	Zircon			Zircon, Rutile	Zircon, Rutile, Tourmaline, Staurolite	Zircon, Rutile, Tourmaline, Andalusite, Kyanite, Staurolite, Titanite
Sillimanite		Tourmaline		Tourmaline, Andalusite, Kyanite		
Monazite			Kyanite		Kyanite, Epidote	
Kyanite					Calcic amphibole	
Calcic amphibole			Staurolite	Staurolite		
Staurolite			Epidote	Epidote		
Garnet	Garnet	Garnet	Garnet	Garnet, Apatite	Garnet	Garnet
Calcic amphibole				Calcic amphibole		
Clinopyroxene	Orthopyroxene			Clinopyroxene, Olivine		Clinopyroxene, Orthopyroxene, Calcic amphibole
Olivine		Apatite				Apatite

- decreasing stability -

Morton & Hallsworth 1999

HvE - Sedimentpetrologie

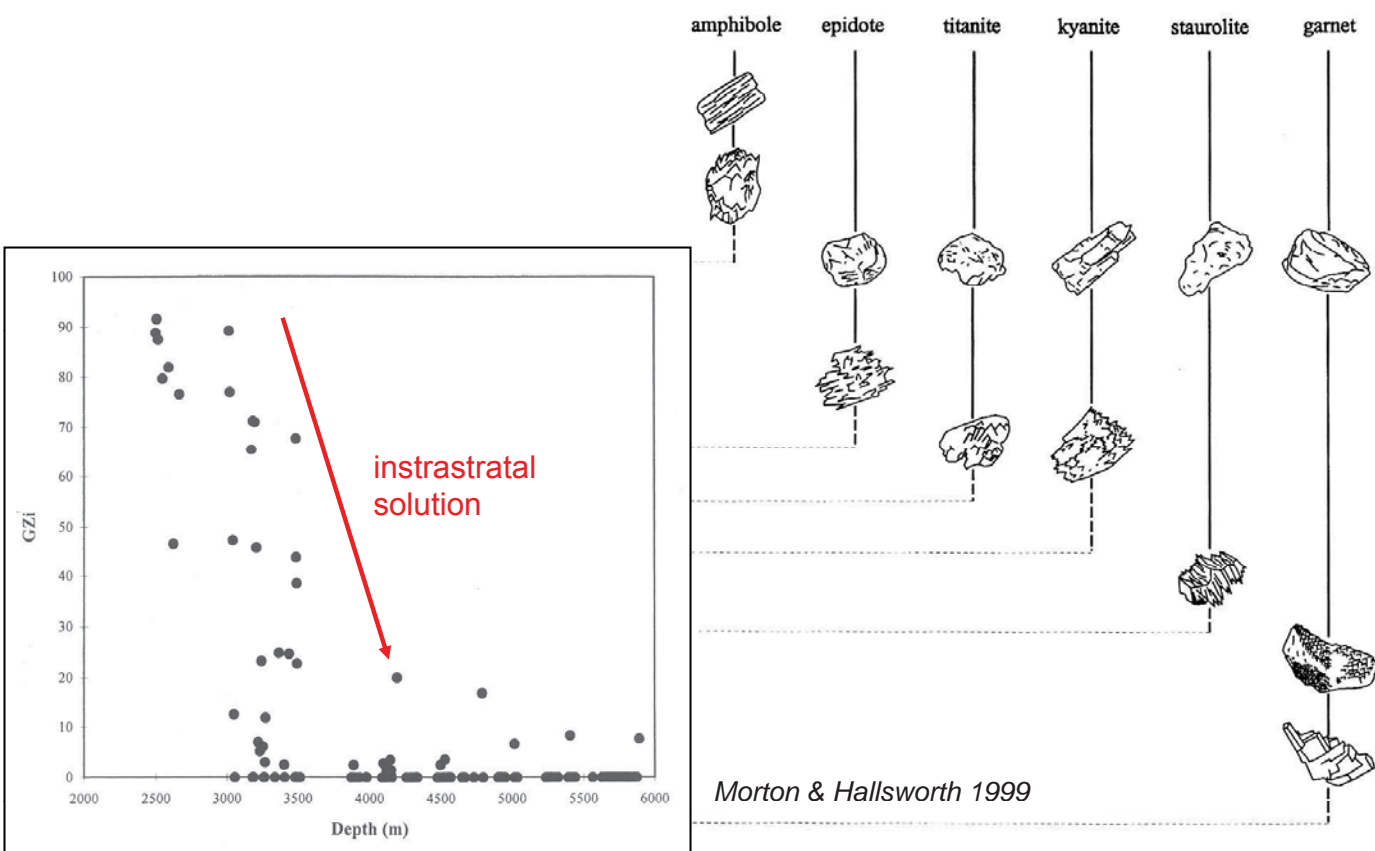
Tabelle 1 Beständigkeitsreihe und verallgemeinerte Stabilitätsreihe der häufigsten Schwerminerale. Die Minerale sind mit zunehmender Stabilität von oben nach unten aufgelistet.

Beständigkeitsreihe	Verallgemeinerte Stabilitätsreihe		
modifiziert nach PETTJOHN (1941)	nach PETTJOHN et al. (1973) (Glimmer und opake Minerale ausge- nommen)	Stabilität gegenüber saurer Auslaugung (nach MORTON 1985a)	Stabilität gegenüber tiefer Versenkung, salziger oder alkalischer Porenflüssigkeit (nach MORTON 1985a)
Olivin	<i>sehr instabil</i>	Olivin, Pyroxene	Olivin, Pyroxene
Sillimanit	Olivin	Amphibole	Andalusit, Sillimanit
Pyroxene	<i>instabil</i>	Titanit	Amphibole
Titanit	Hornblende	Apatit	Epidot
Andalusit	Aktinolith	Epidot, Granat	Titanit
Ca-Amphibole	Augit	Chloritoid, Spinell	Disthen
Glaukophan-Riebeckit- Reihe	Diopsid	Staurolith	Staurolith
Epidot	Hypersthen	Disthen	Granat*
Disthen	Andalusit	Andalusit, Sillimanit, Turmalin, Rutil, Zirkon	Apatit*, Chloritoid, Titanit, Rutil, Turmalin, Zirkon
Staurolith	<i>mäßig stabil</i>		* nach neueren Beobachtungen von M. MANGE scheint Granat und Apatit stabiler als Chloritoid zu sein.
Monazit	Epidot		Die Reihe zunehmender Stabilität ab Staurolith lautet daher:
Xenotim	Disthen		Staurolith
Apatit	Granat (Fe-reich)		Chloritoid
Granat	Sillimanit		Granat
Zirkon	Titanit		Spinell
Turmalin	Zoisit		Apatit
Rutil	<i>stabil</i>		Rutil, Turmalin, Zirkon
	Apatit		
	Granat (Fe-arm)		
	Staurolith		
	Monazit		
	<i>extrem stabil</i>		
	Rutil		
	Zirkon		
	Turmalin		
	Anatas		

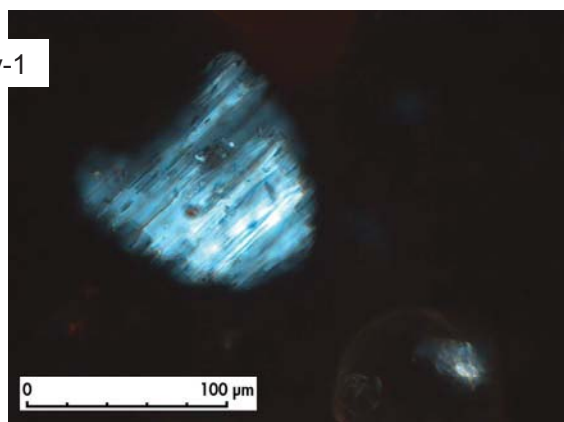
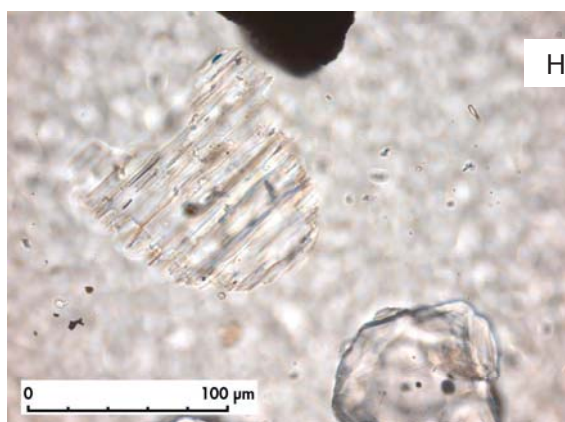
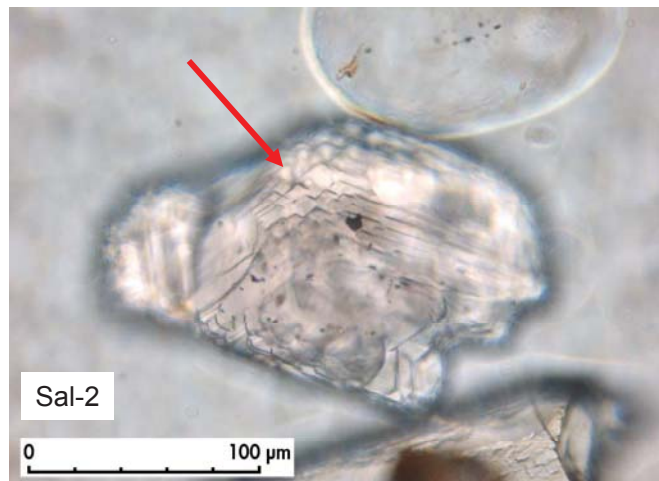
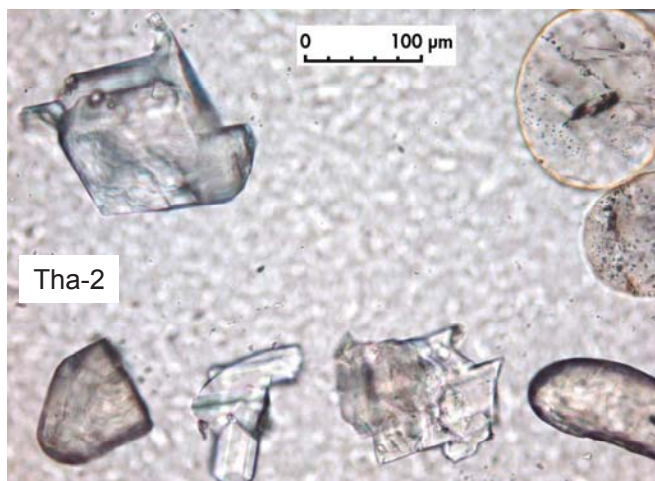
HvE

Mange & Maurer 1991

Modification of HM assemblages



HvE - Sedimentpetrologie

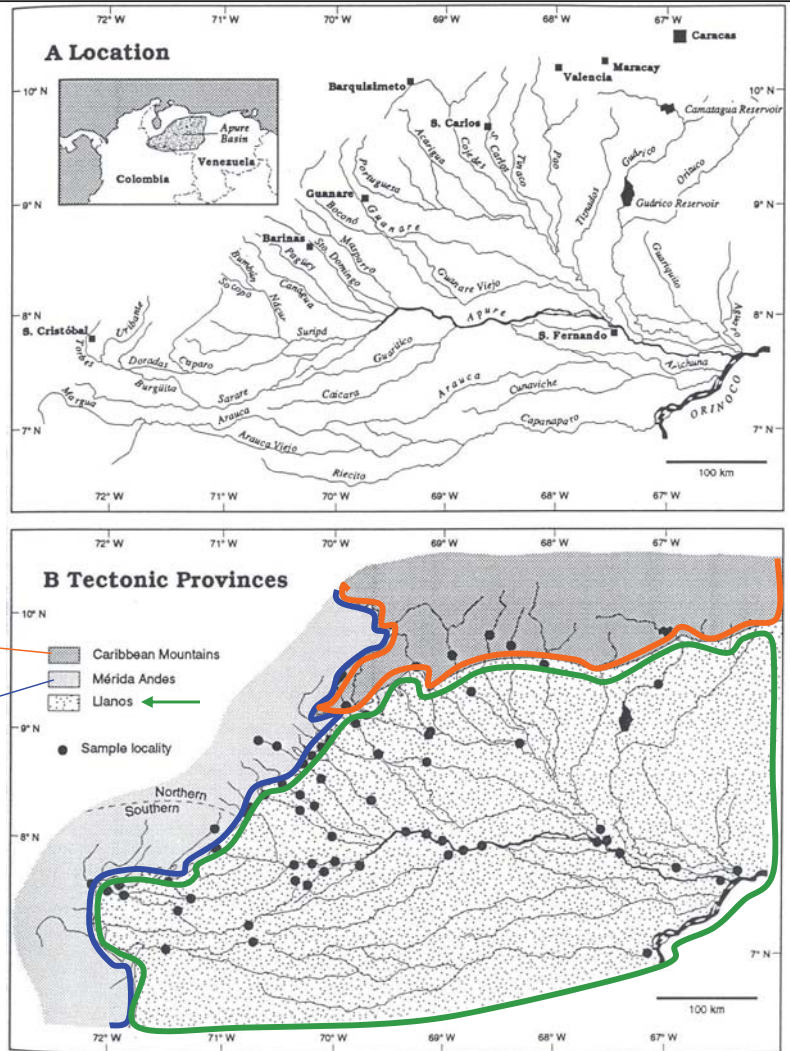


HvE - Sedimentpetrologie

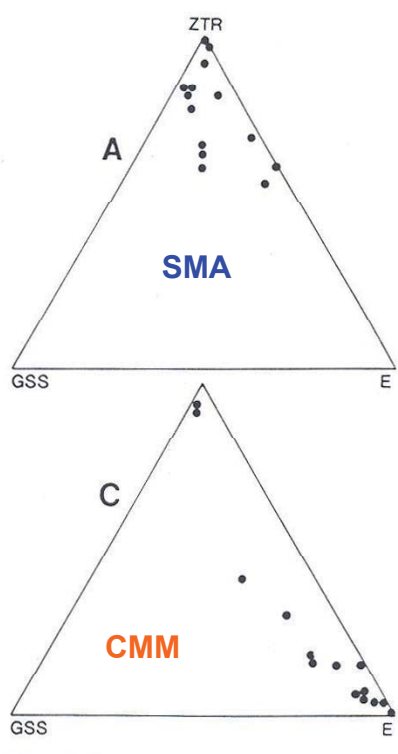
Fotos: HvE

Weathering on transit (alluvial storage)

example by Morton & Johnsson 1993



HvE - Sedimentpetrologie



Weathering
on transit

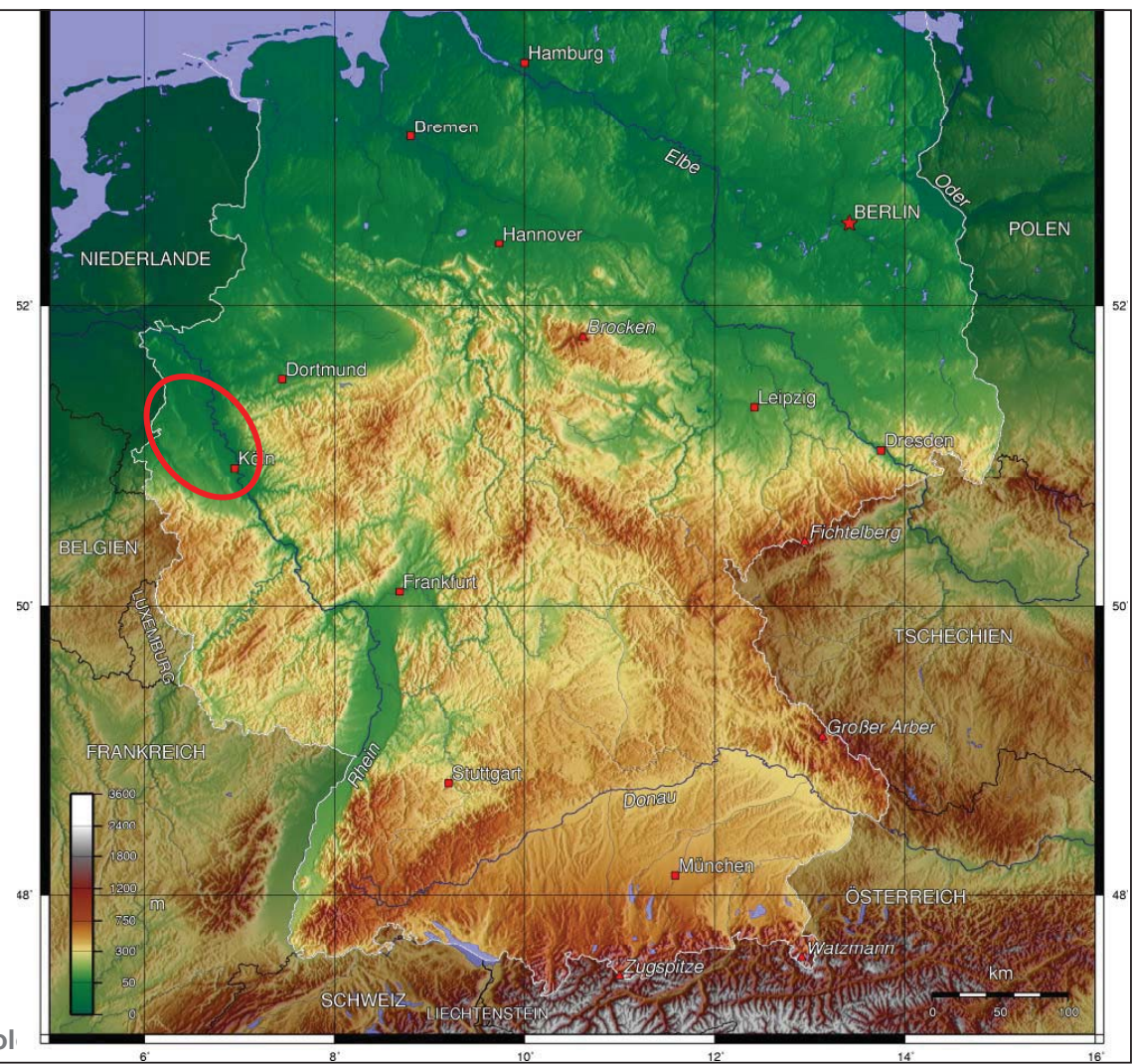
	CM/MA	prox.	mid.	dist.	Llanos
Calcic amphibole	19 ± 9	25 ± 7	23 ± 6	19 ± 8	
Clinopyroxene	1 ± 1	5 ± 3	1 ± 1	0.1 ± 0.3	
Chloritoid	3 ± 4	4 ± 5	1 ± 2	1 ± 2	
Epidote	32 ± 10	28 ± 8	32 ± 6	30 ± 22	
Garnet	11 ± 5	7 ± 3	7 ± 3	6 ± 4	
Rutile	3 ± 4	5 ± 3	3 ± 1	4 ± 4	
Sillimanite	2 ± 2	4 ± 2	4 ± 1	3 ± 1	
Staurolite	3 ± 5	2 ± 2	1 ± 1	2 ± 1	
Titanite	1 ± 1	2 ± 1	2 ± 1	3 ± 3	
Zircon	17 ± 11	20 ± 10	17 ± 9	28 ± 29	
Number of samples	25	25	10	5	
ZTR Index [†]	26 ± 14	24 ± 12	23 ± 11	35 ± 32	
Apatite-tourmaline index (ATI)	57 ± 13	51 ± 11	43 ± 17	20 ± 17	

Morton & Johnsson 1993

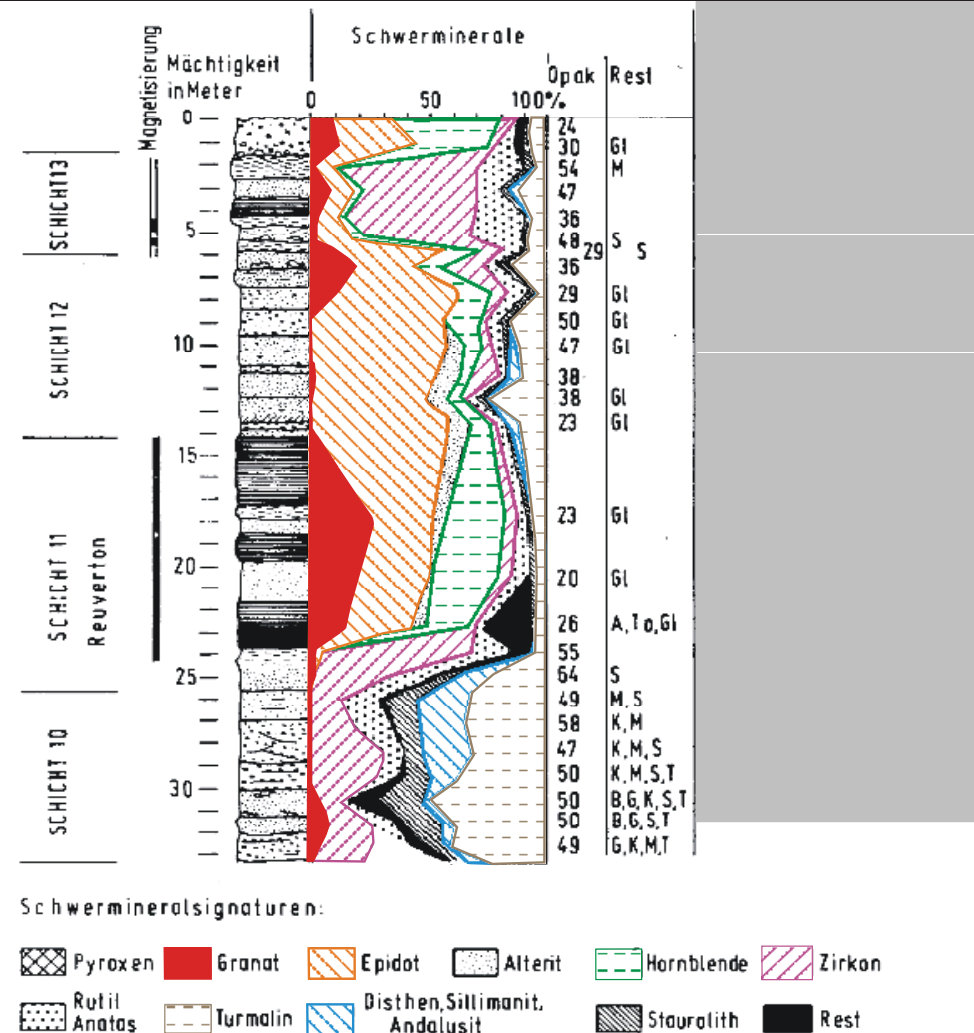
HvE - Sedimentpetrologie

Example:

Lower Rhine Bay, Cologne



HvE - Sedimentpetrol



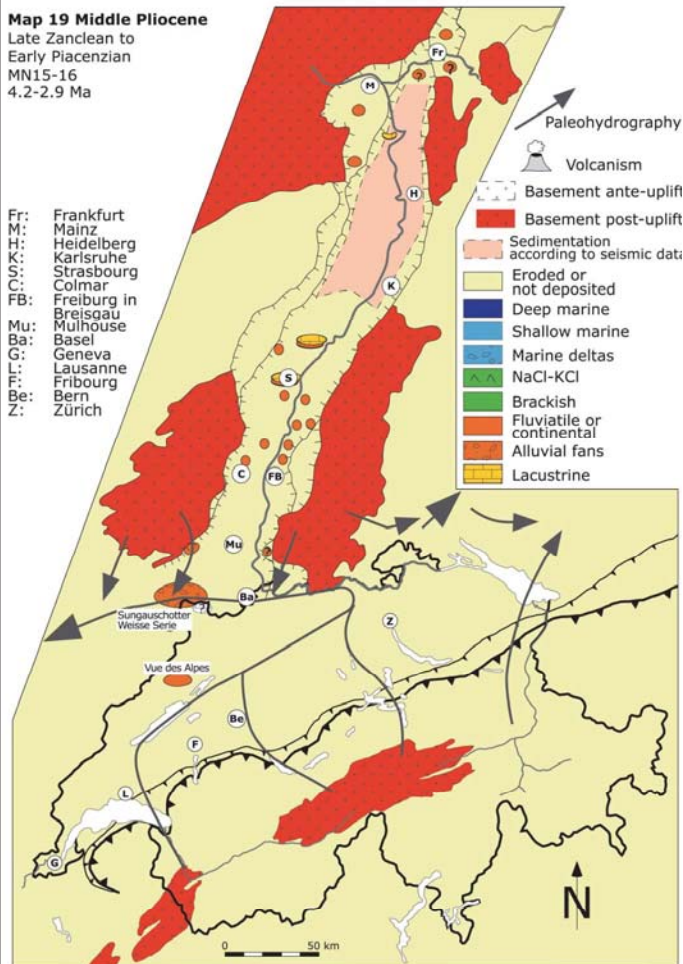
Boenigk 1983

HvE - Sedimentpetrologie

Map 19 Middle Pliocene

Late Zanclean to
Early Piacenzian
MN15-16
4.2-2.9 Ma

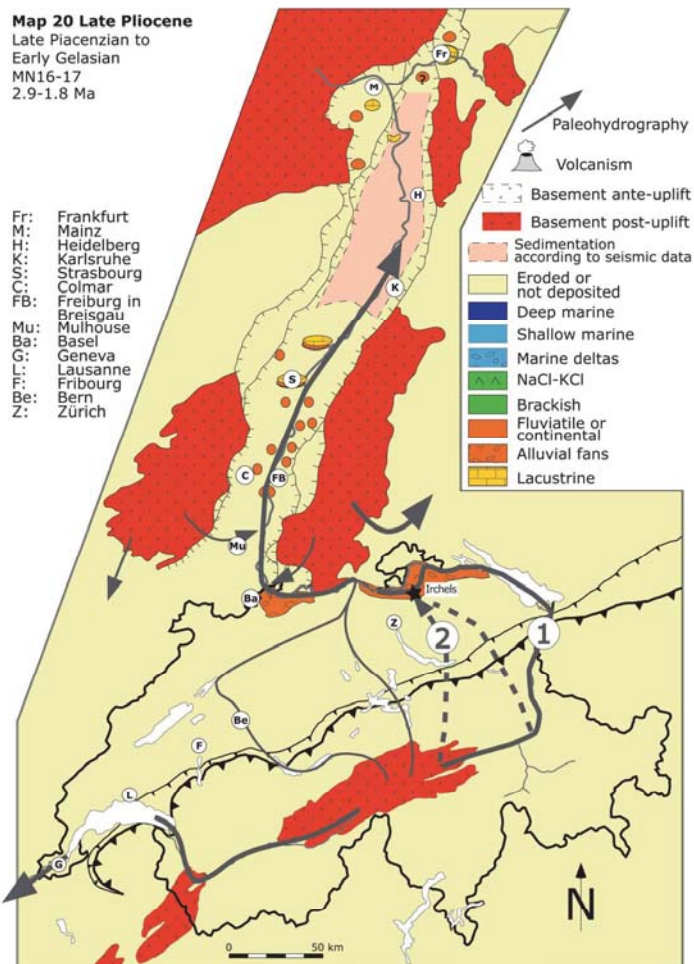
Fr: Frankfurt
M: Mainz
H: Heidelberg
K: Karlsruhe
S: Strasbourg
C: Colmar
FB: Freiburg in Breisgau
Mu: Mulhouse
Ba: Basel
G: Geneva
L: Lausanne
F: Fribourg
Be: Bern
Z: Zürich



Map 20 Late Pliocene

Late Piacenzian to
Early Gelasian
MN16-17
2.9-1.8 Ma

Fr: Frankfurt
M: Mainz
H: Heidelberg
K: Karlsruhe
S: Strasbourg
C: Colmar
FB: Freiburg in Breisgau
Mu: Mulhouse
Ba: Basel
G: Geneva
L: Lausanne
F: Fribourg
Be: Bern
Z: Zürich



Berger et al. 2005

Schwerminerale

→ Minerale mit spezifischer Dichte $\rho > 2.89$ (2,86) g/cm³
(engl.: *heavy minerals* oder *dense minerals*)

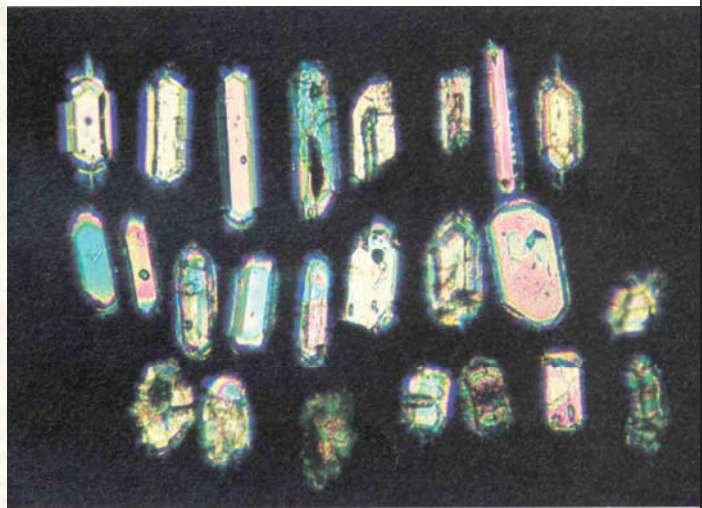
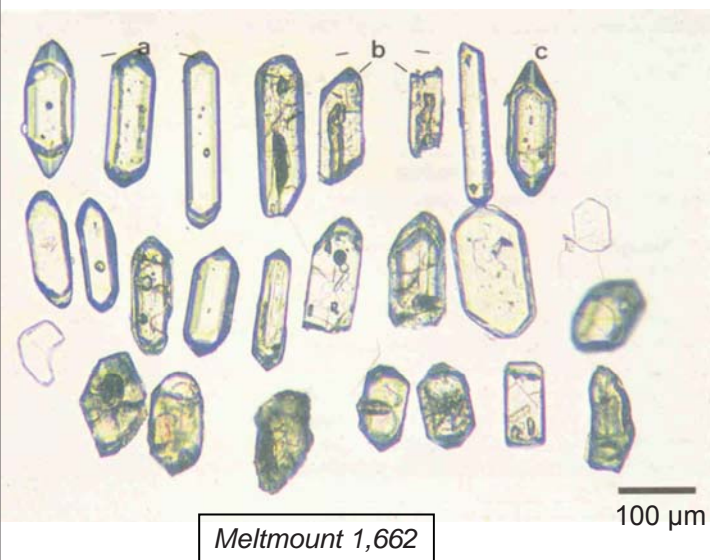
→ Charakteristische Merkmale:

- Habitus (Form, Spaltbarkeit, Oberflächenstruktur, ...)
- Farbe (Pleochroismus!)
- Lichtbrechung (unterschiedl. Einbettungsmittel!)
- Doppelbrechung (Mineraldicke und -orientierung beachten!)
- Auslöschung, opt. Charakter/Interferenzbild, Einschlüsse, ...

→ für die spezifische Merkmale der einzelnen Minerale siehe v.a.
Mange & Maurer 1991; im Skript sind nur einige Folien enthalten
mit Bezug zur Schwermineralchemie

zircon

a: Eocene tuff horizon
b: Carboniferous sediments

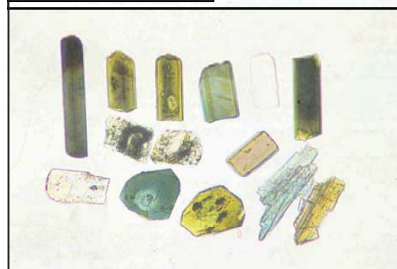
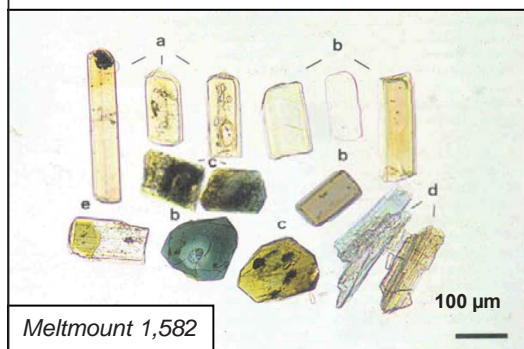


tetragonal,
 $\rho = 4.60 - 4.79$
 $n = 1.92 - 2.02$
 $\Delta = 0.042 - 0.065$

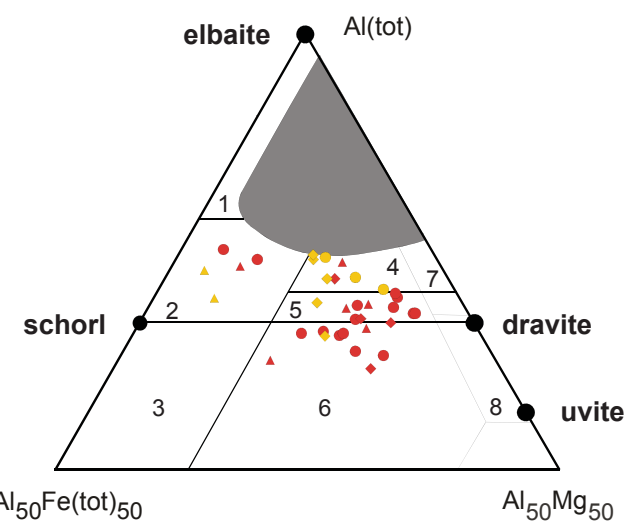
Mange & Maurer 1991

tourmaline

trigonal, 1-, $\rho = 3.00 - 3.25$, $n = 1.61 - 1.66$, $\Delta = 0.017 - 0.036$



Mange & Maurer 1991



1,2: granitoid host (source) rocks
4,5,6: metasedimentary host (source) rocks

- | | |
|--|---|
| detrital tourmaline grains
tourmaline from metasandstone clasts | <ul style="list-style-type: none"> ● EY 6-1 (LOS) ◆ H 1021-5 (BRA) ▲ EY 9-34 (BRA) △ EY 6-3/b (LOS) ◇ EY 6-3/c (LOS) ○ EY 6-3/d (LOS) |
|--|---|



Henry & Guidotti 1985,
von Eynatten & Gaupp 1999

rutile – properties and occurrence

- beside sphene and ilmenite the most important Ti - mineral in the earth's crust

- chemistry:

TiO_2 (>99 wt.-%)

but ... →

- main primary occurrence in medium to high-grade metamorphic rocks
- stable in sedimentary environments

Nb	→	28000 ppm
Cr	→	4400 ppm
Fe	→	>30000 ppm
Zr	→	8400 ppm
V	→	7600 ppm
W	→	8100 ppm
U	→	84 ppm

tetragonal, 1 +
 $n = 2.61 - 2.90$
 $\Delta = 0.286 - 0.296$



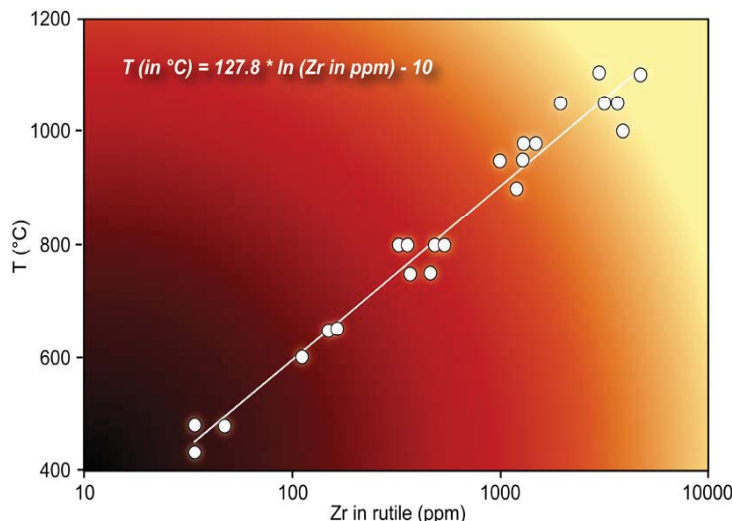
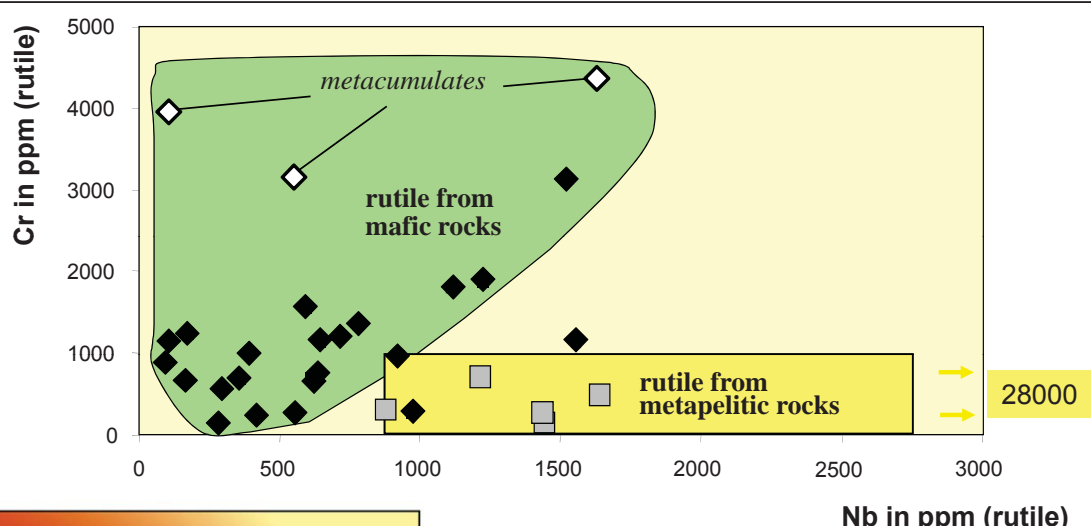
Mange & Maurer 1991

→ frequent occurrence as heavy mineral in (mature) clastic sediments

→ used for maturity (ZTR) and other indices reflecting source materials (RZi)

HvE - Sedimentpetrologie

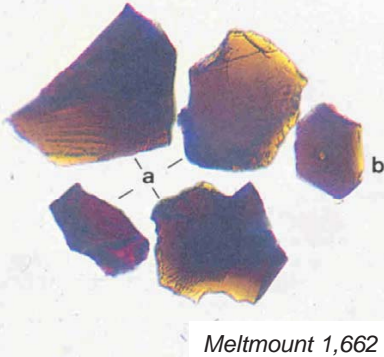
rutile



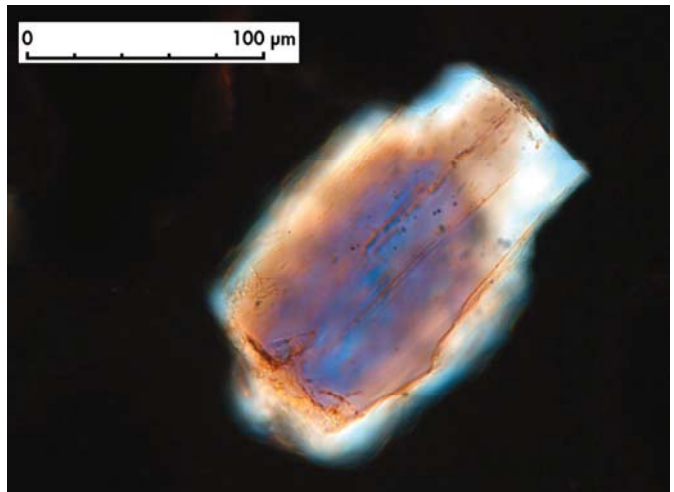
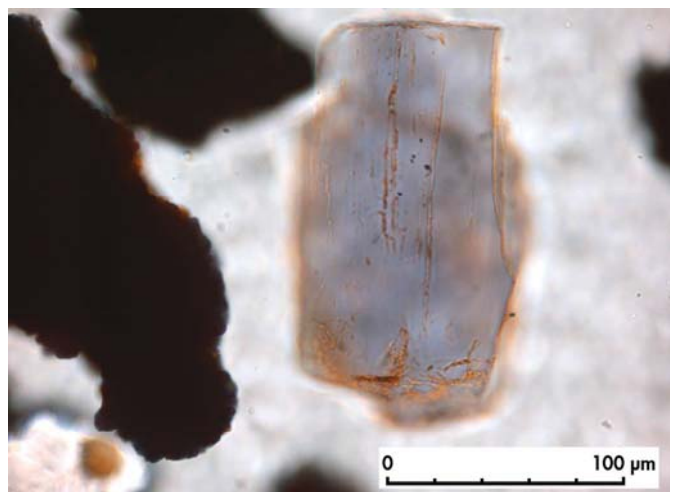
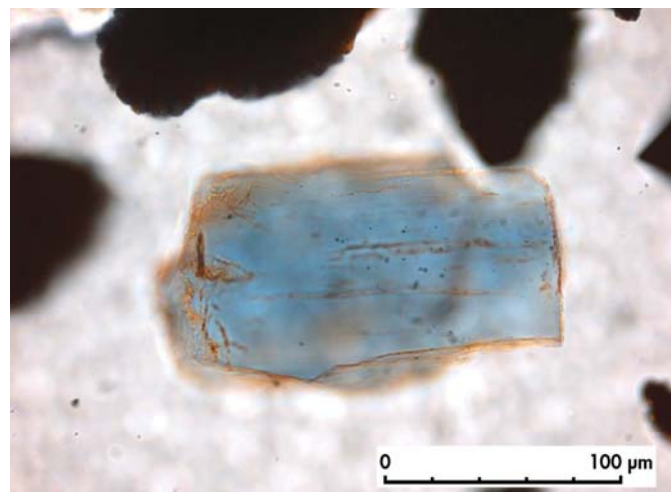
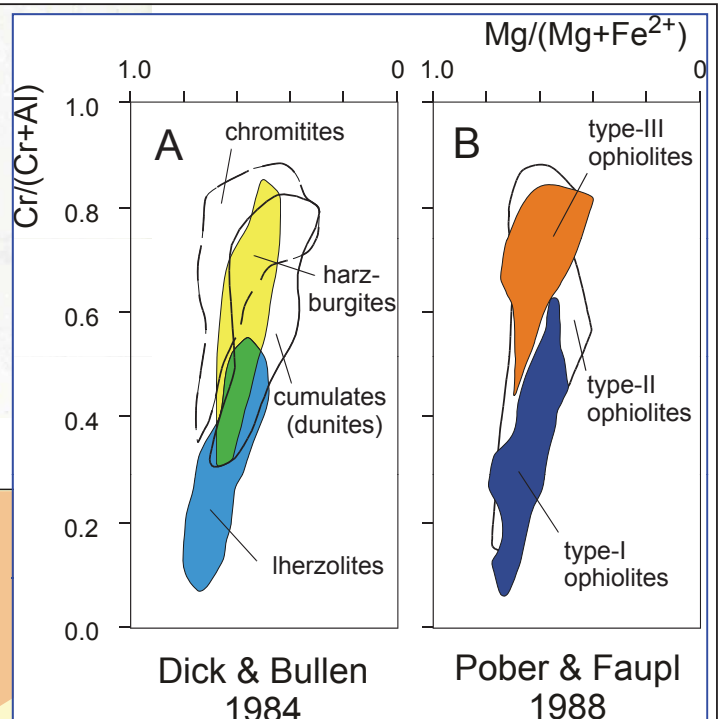
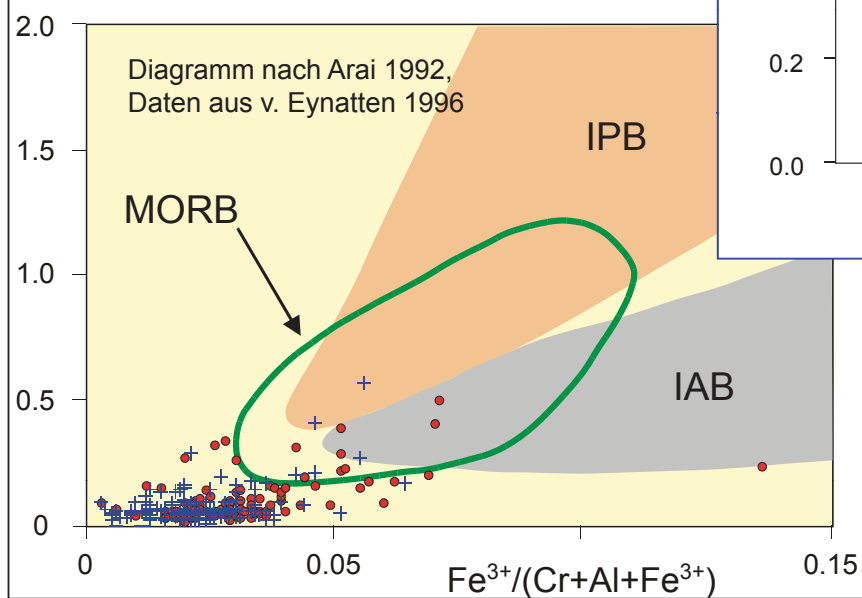
HvE - Sedimentpetrologie

chrome spinel

Kubisch
 $\rho = 5.09$
 $n = 2.00$
 $\Delta = .$



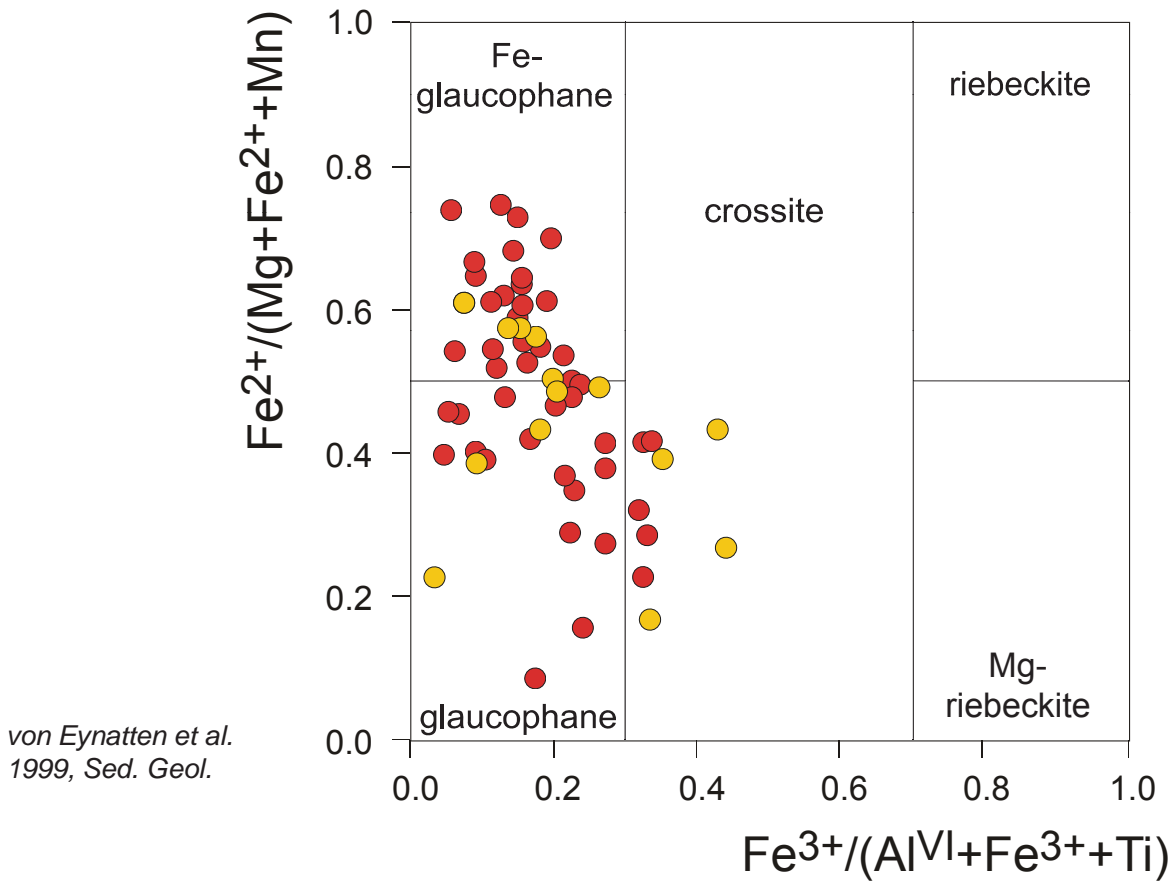
TiO₂ wt.-%



amphibole -

?

blue sodic amphiboles



(G) Case Studies

1. Oligo-/Miozänes Vorland der Betischen Kordillere
2. Schweizer Molassebecken (Zentralalpen-Vorland)
3. Subherzynes Kreidebecken (Harz-Vorland)
4.